



UNIVERSIDAD NACIONAL  
MAYOR DE SAN MARCOS  
FACULTAD DE CIENCIAS FÍSICAS  
DIRECCIÓN DE INVESTIGACIÓN  
UNIDAD DE POSGRADO



# XXXI Simposio Peruano de Física

## FCF - UNMSM

Lima, Diciembre 15-19, 2025

# XXXI Simposio Peruano de Física

15-19 diciembre 2025

Universidad Nacional Mayor de San Marcos

America/Lima timezone



# Propiedades electrónicas y magnéticas de canales de grafeno grabados en fluorografeno: Transición controlable de semiconductor a metal.

Expositor: Dr. R. M. Guzmán-Arellano

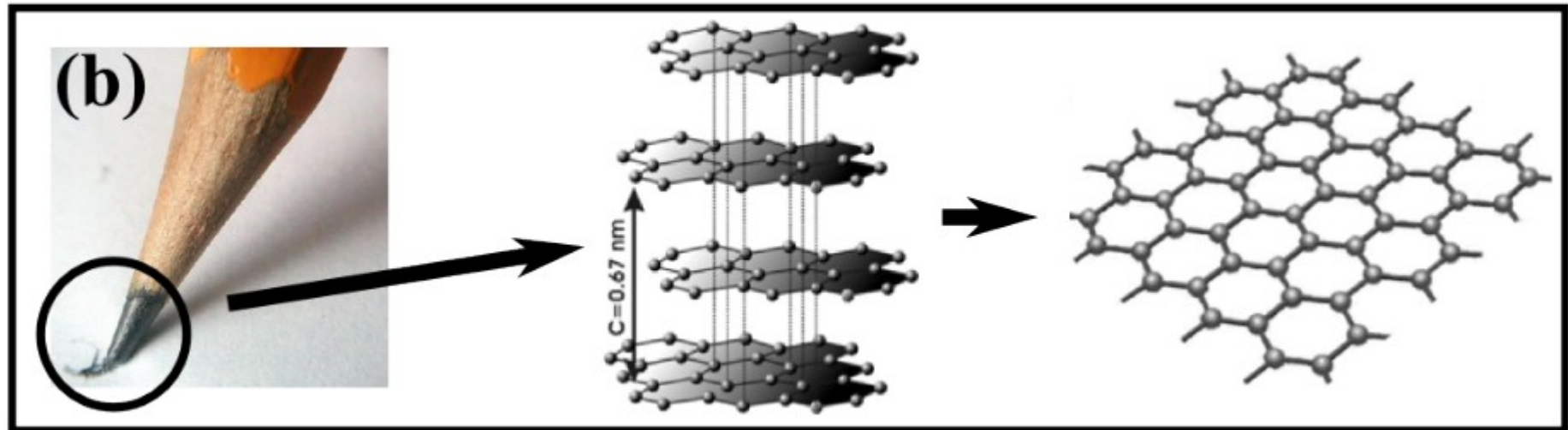
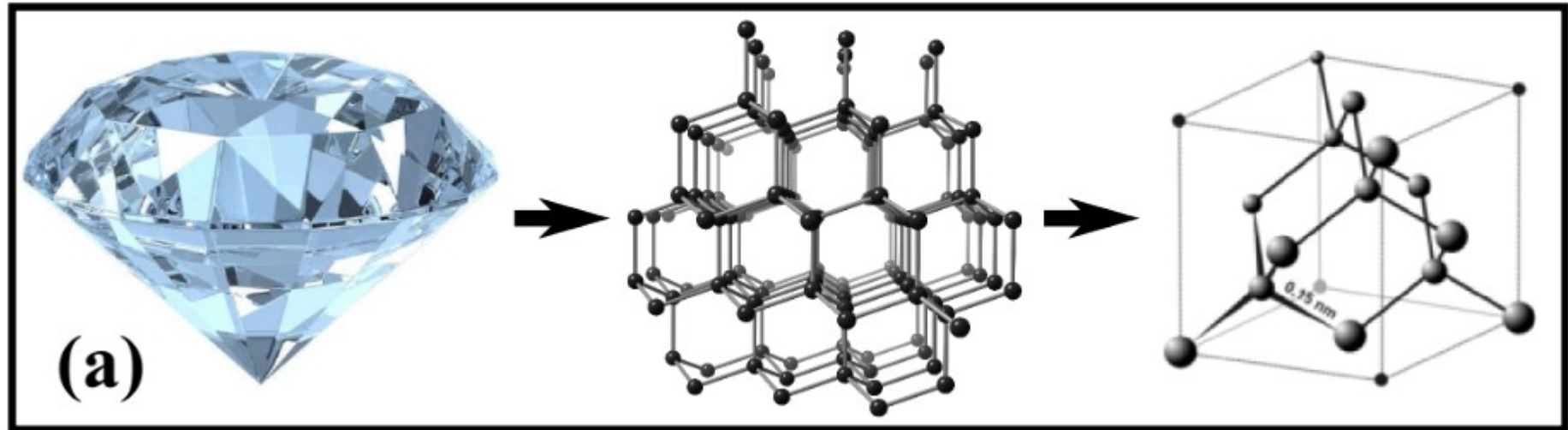
- Dr Alexander David Hernadez Nieves (Centro Atómico Bariloche)
- Dr Francois Peeters (Nanjing University of Science and Technology)
- Dr Gonzalo Usaj (Centro Atómico Bariloche)



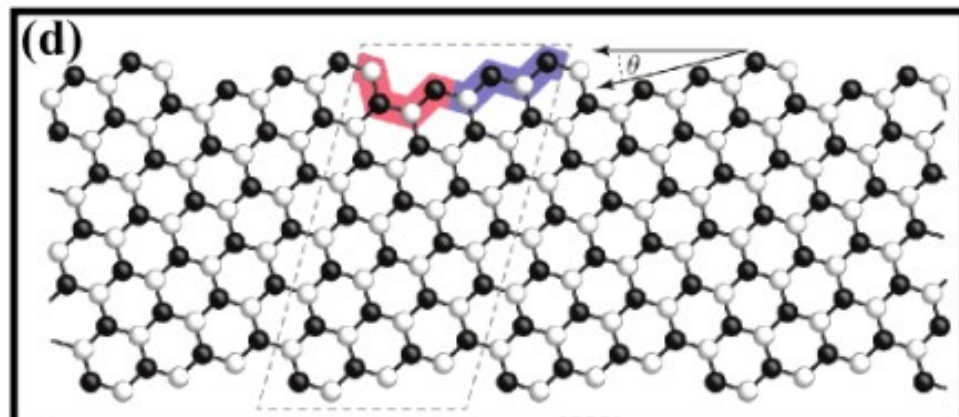
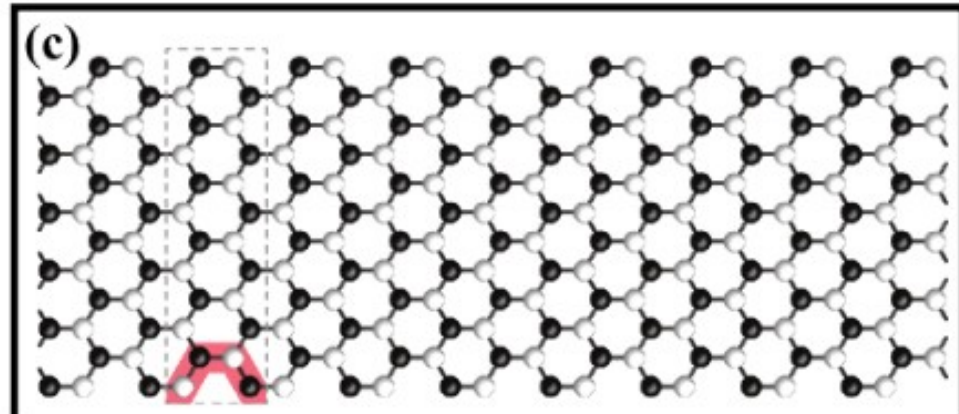
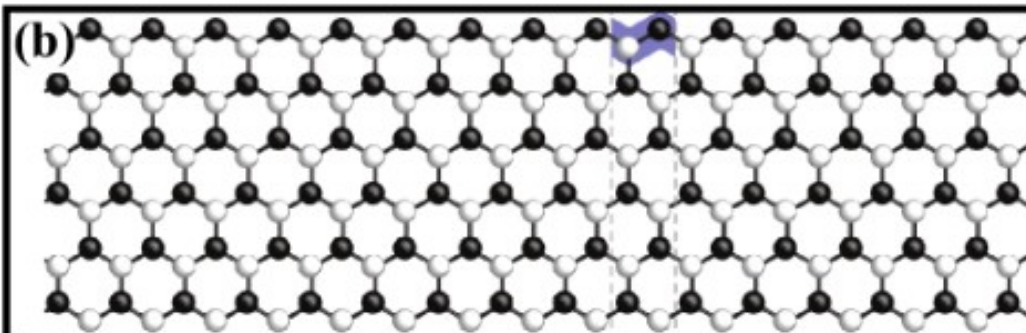
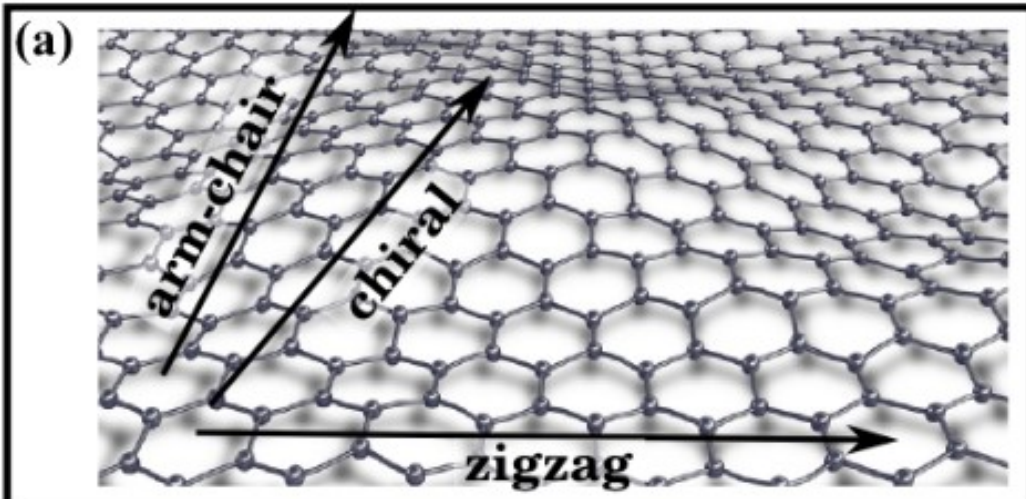
# Organización

- 1) Compuestos de Carbono.**
- 2) Grafeno – Nano cintas de grafeno.**
- 3) Fluorografeno.**
- 4) Canales de Grafeno – Resultados de primeros principios.**
- 5) Ajuste de Wannier – Verificación de parámetros.**
- 6) Modelo de Hubbard y método Hartree-Fock.**
- 7) Ajuste de los resultados DFT.**
- 8) Conclusiones – Referencias.**

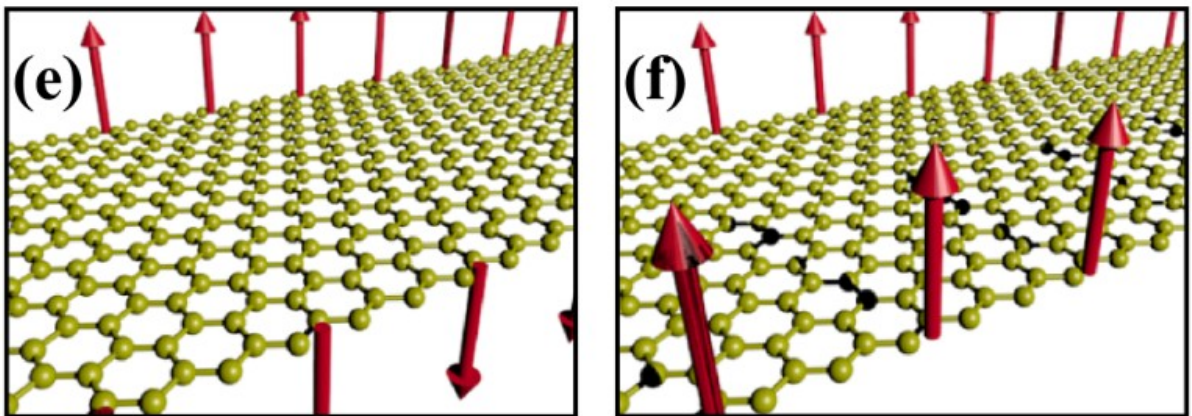
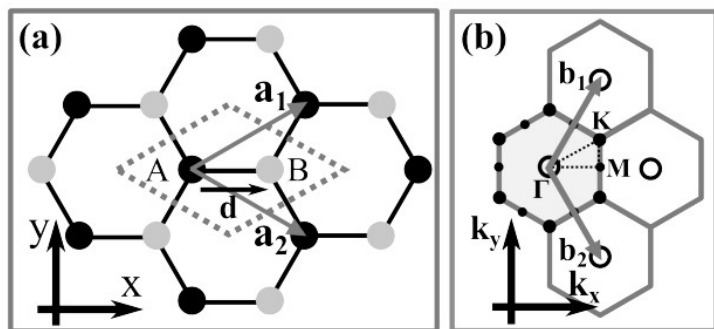
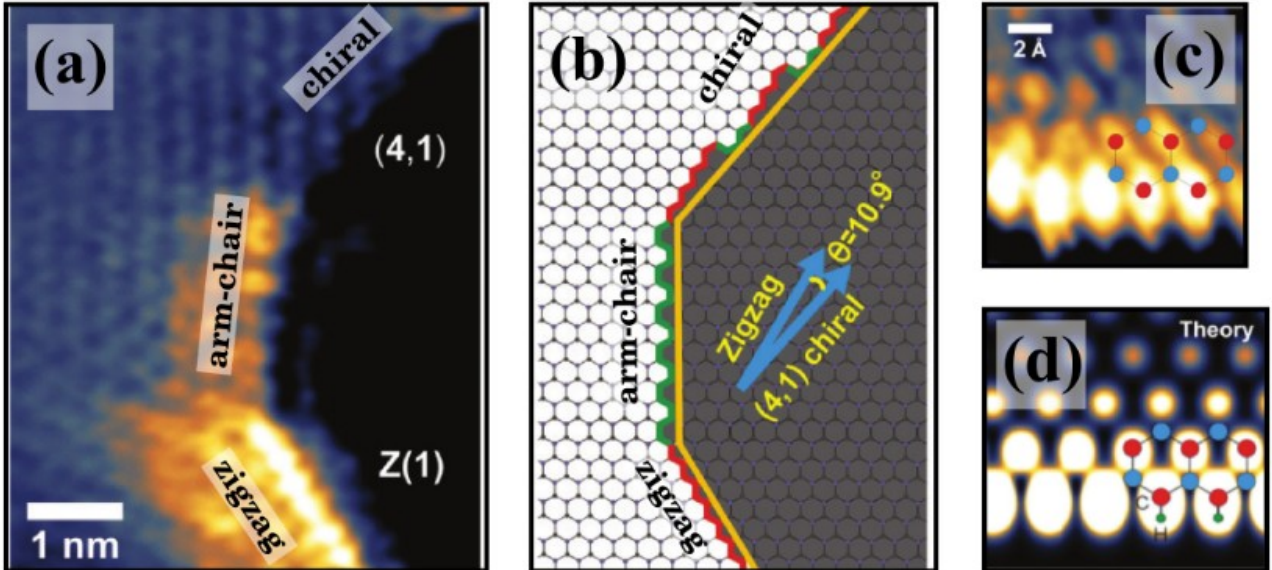
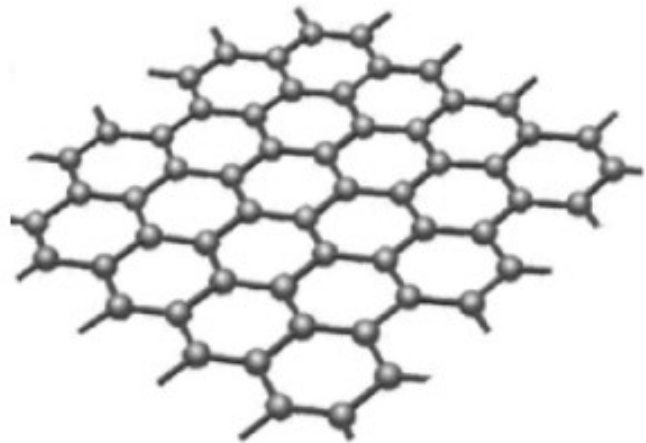
# Compuestos de Carbono.



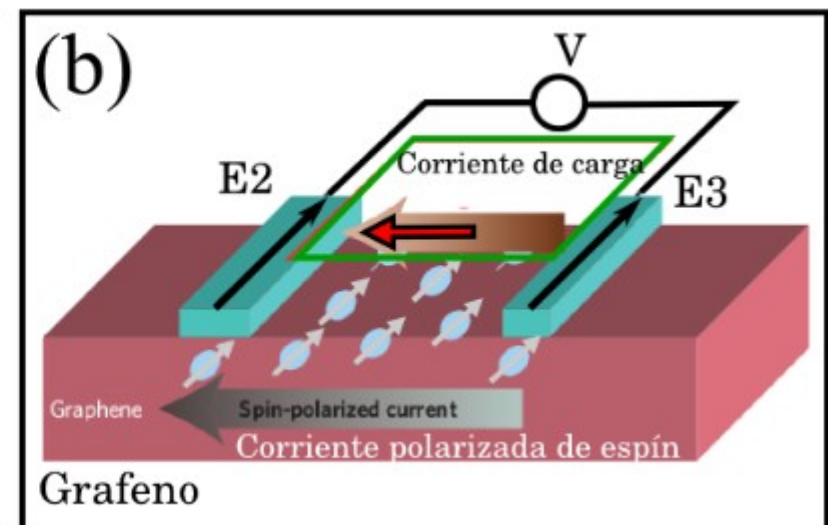
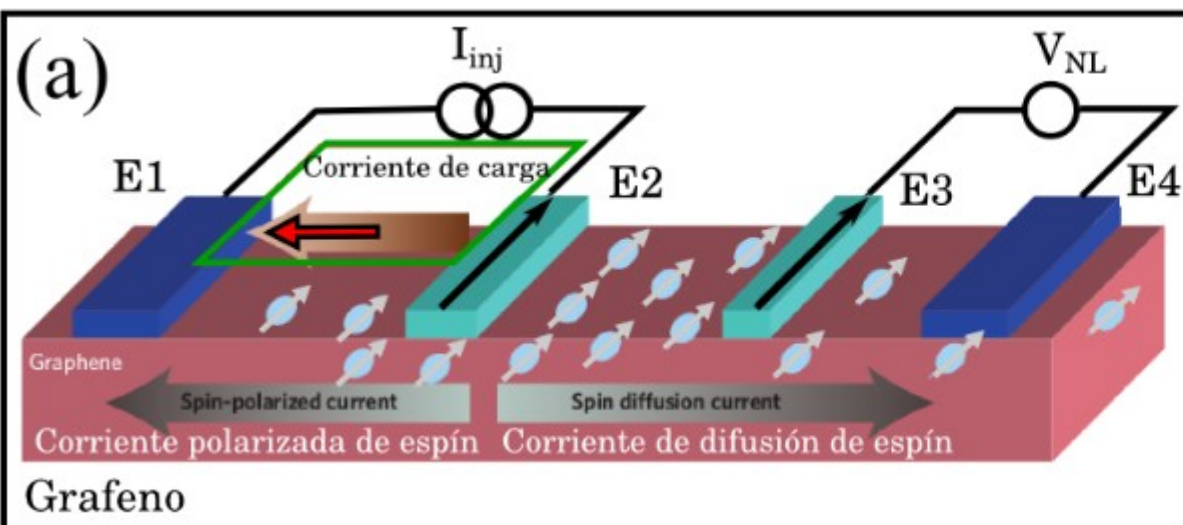
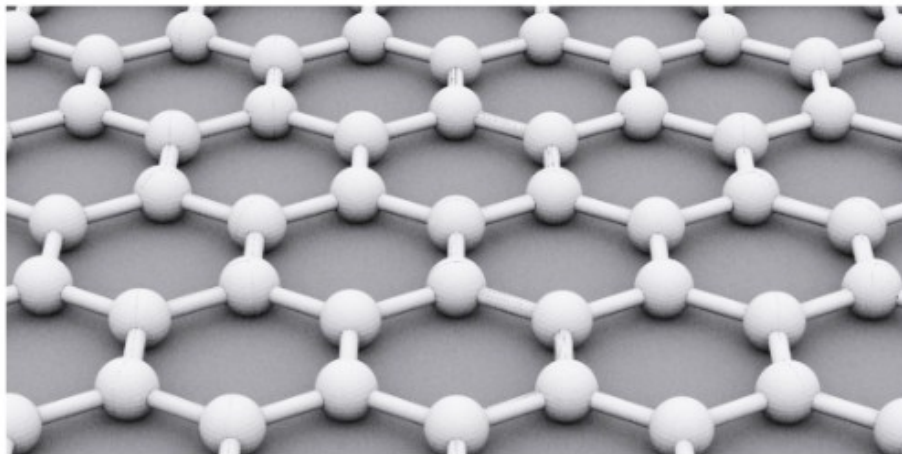
# Grafeno – Nano cintas de grafeno



# Grafeno – Nano cintas de grafeno



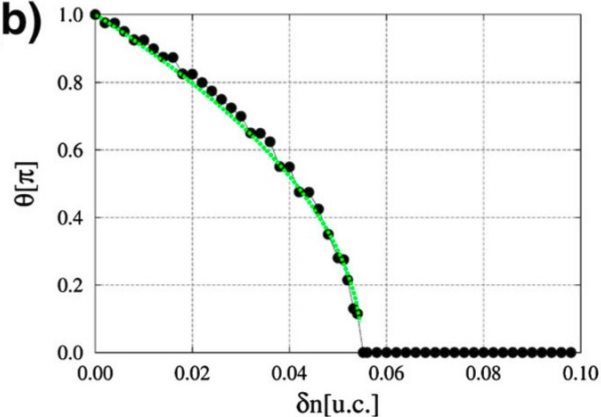
# Grafeno – Nano cintas de grafeno



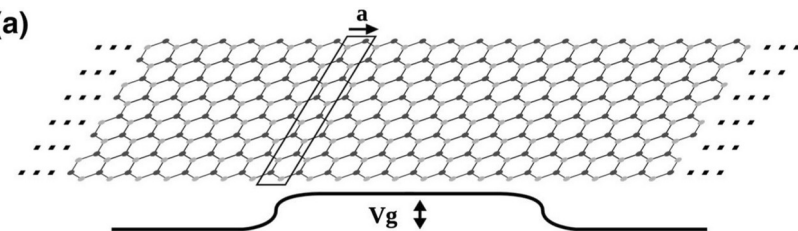
# Grafeno – Nano cintas de grafeno

## Transmission Through Gate-Induced Magnetic Islands on Graphene Nanoribbons

(b)

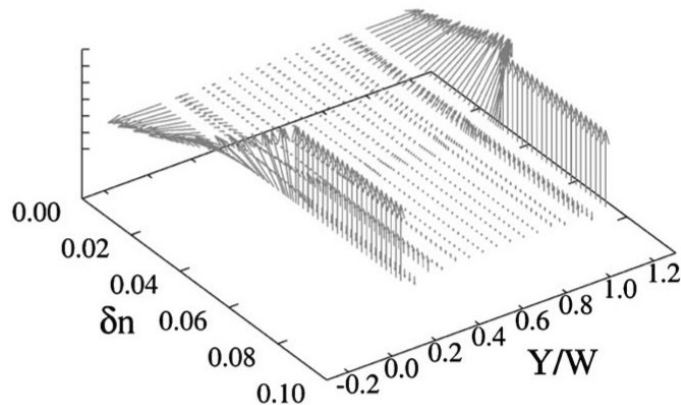


R. M. Guzmán Arellano · González



Received: 4 August 2014 / Accepted: 10 September 2014  
© Springer Science+Business Media New York 2014

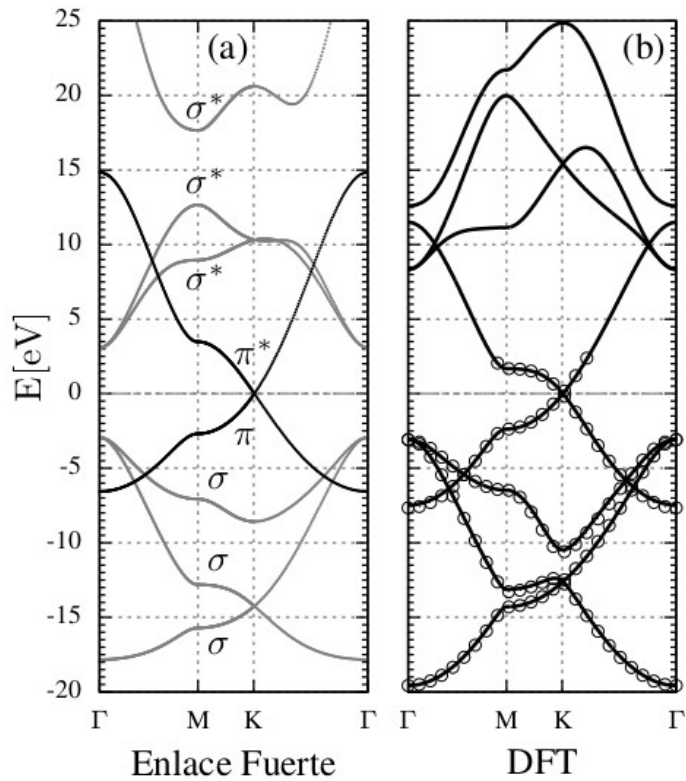
(c)



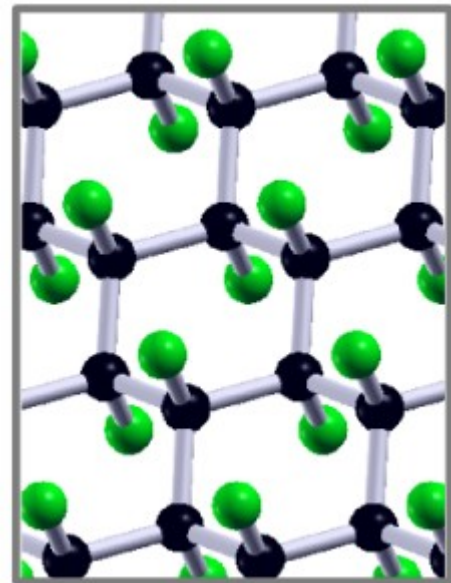
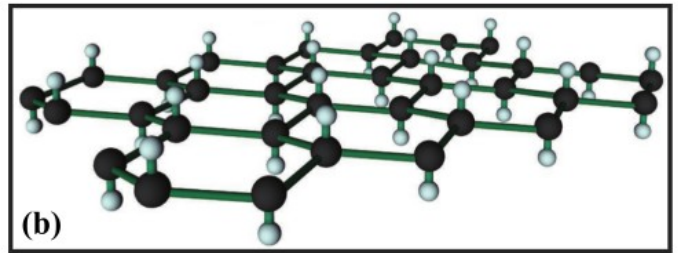
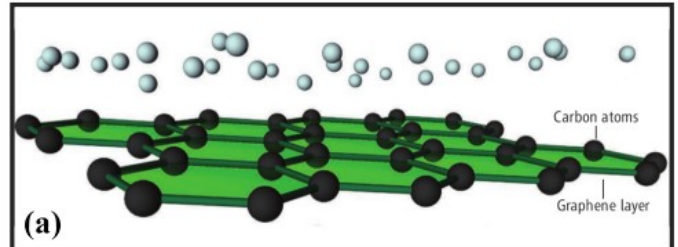
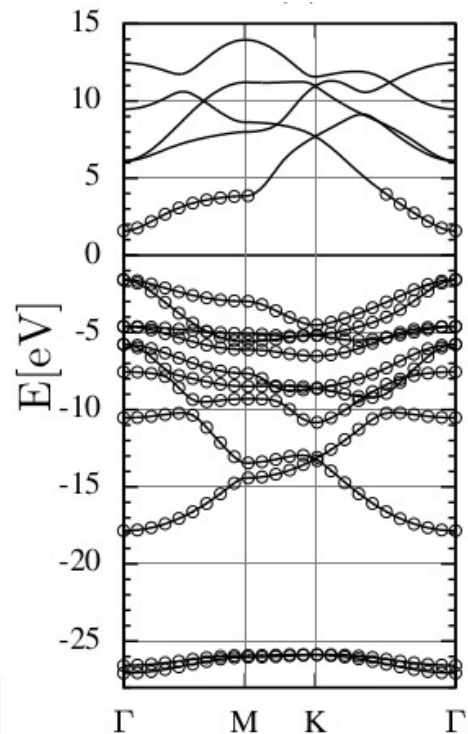
**Abstract** We study the spin-dependent transmission through a potential barrier in a zigzag graphene nanoribbon. In particular, we consider the effect of the magnetic order of the ribbon induced by the modulation of the local density introduced by the barrier. We model the system using an Anderson–Hubbard model that we treat in the mean field approximation. We solve this problem self-consistently and calculate the transmission coefficient using the recursive Green function method. We find that Fano-like interference dips appear on one of the spin channels as the result of the presence of spin polarized edge states in the barrier.

**Keywords** Graphene · Spin-dependent transport · Nanoribbons

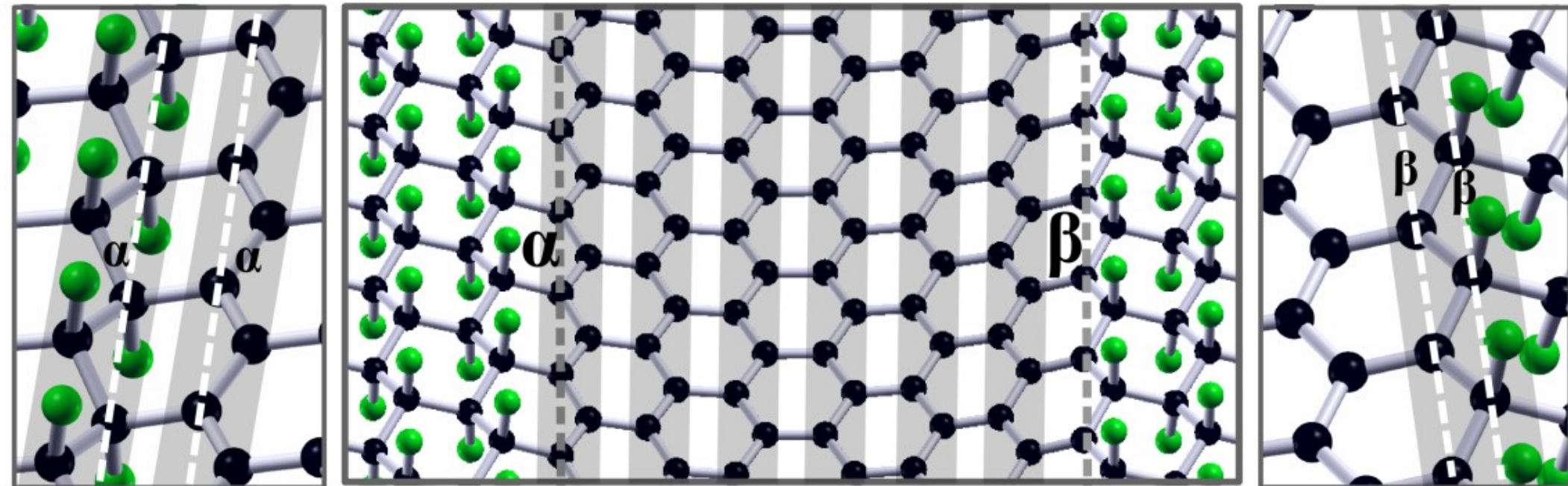
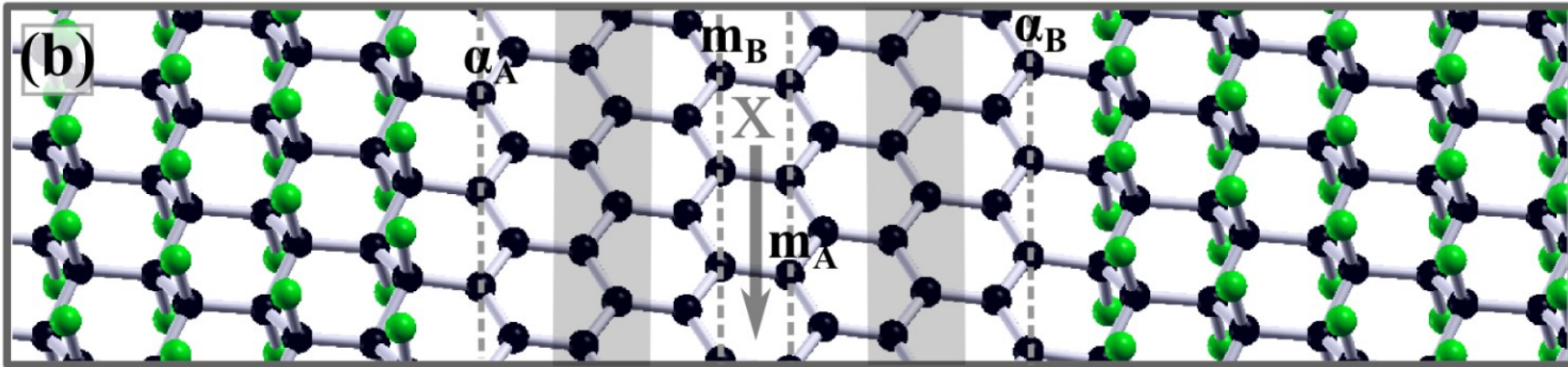
# Grafeno



# Fluorografeno

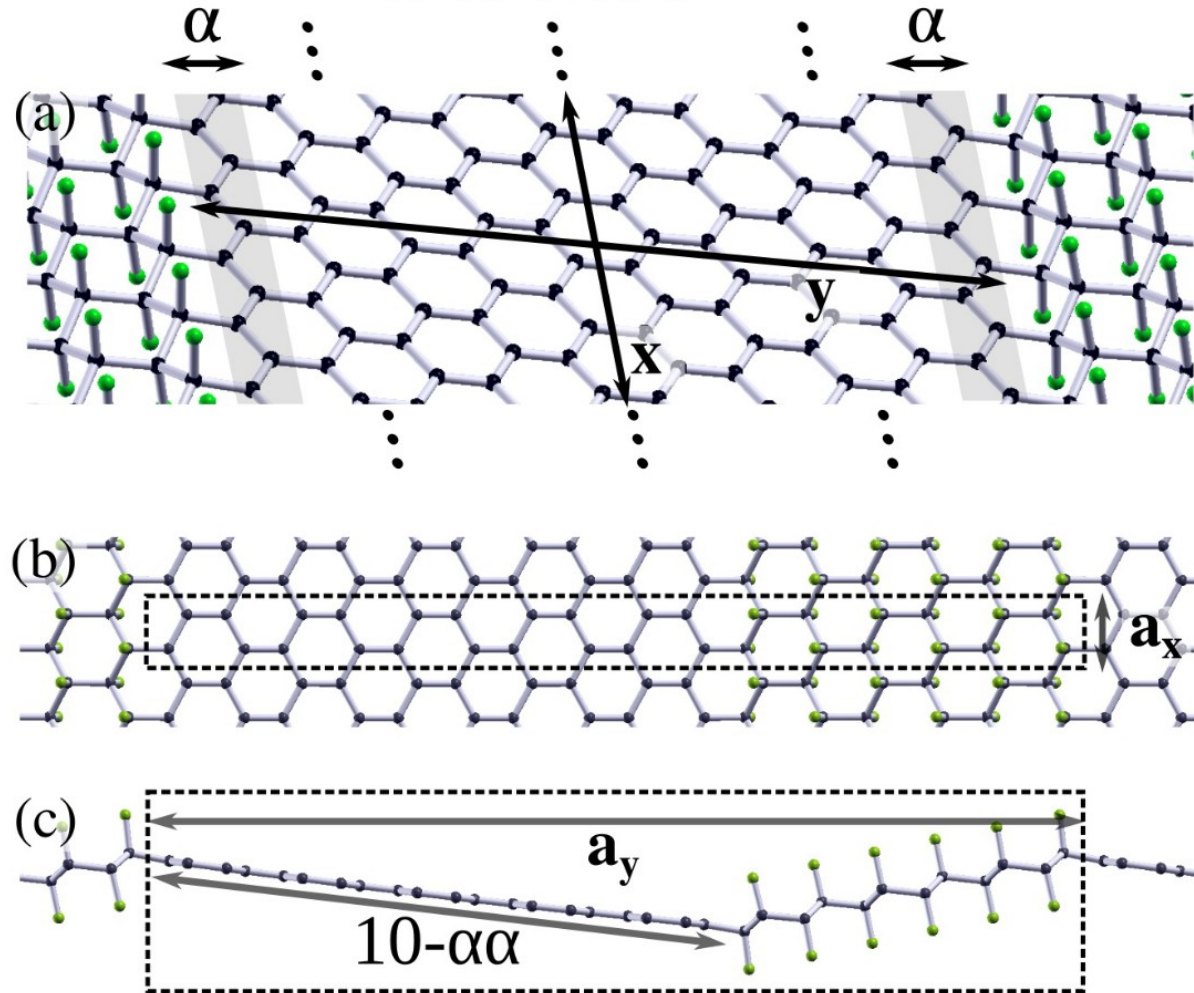
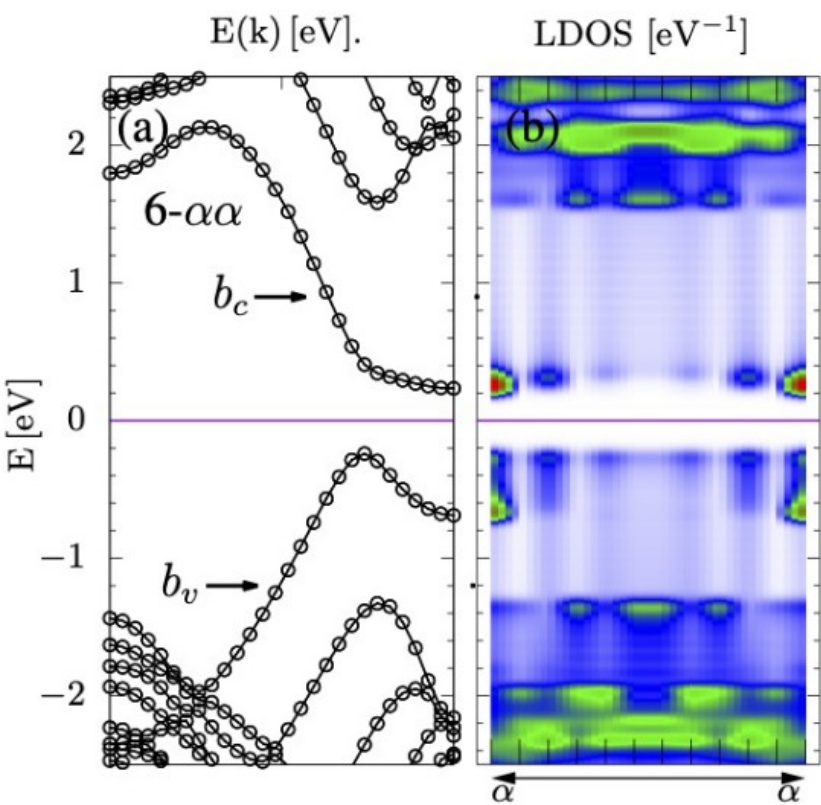


# Canales de Grafeno – Resultados de primeros principios



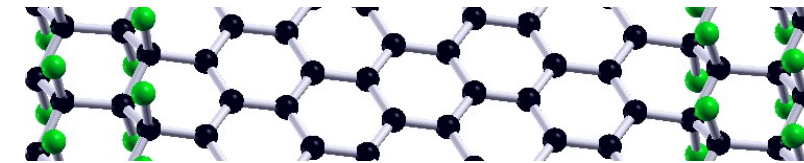
# Canales de Grafeno – Resultados de primeros principios

Channel 10- $\alpha\alpha$

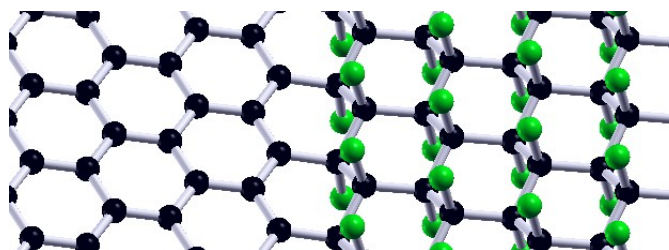
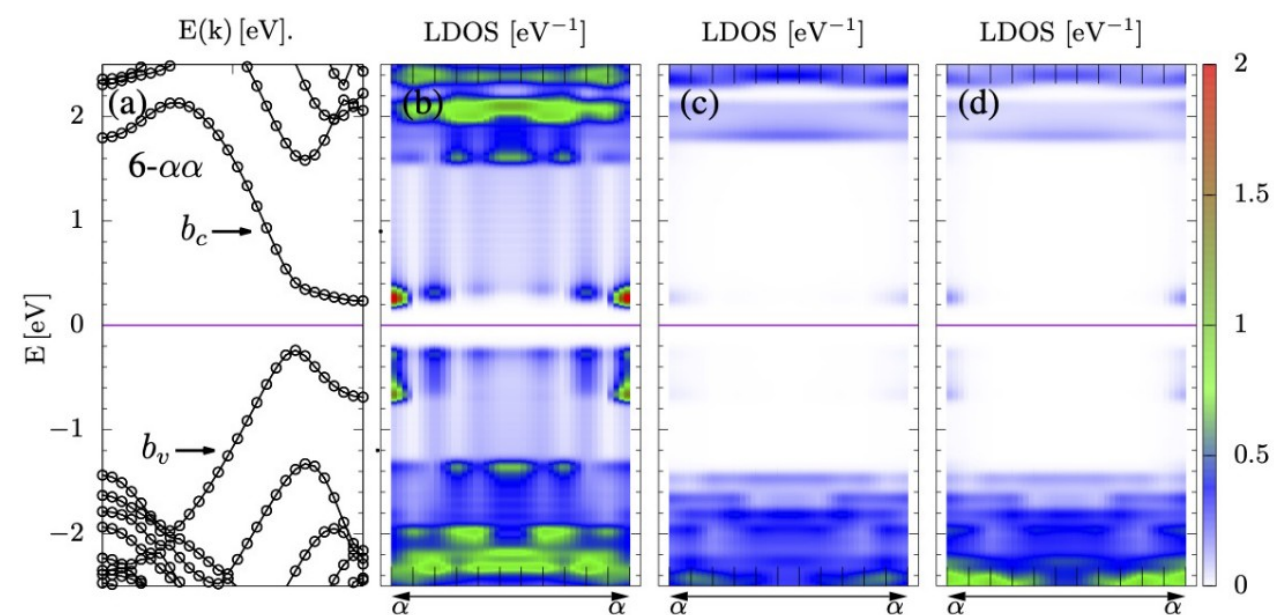
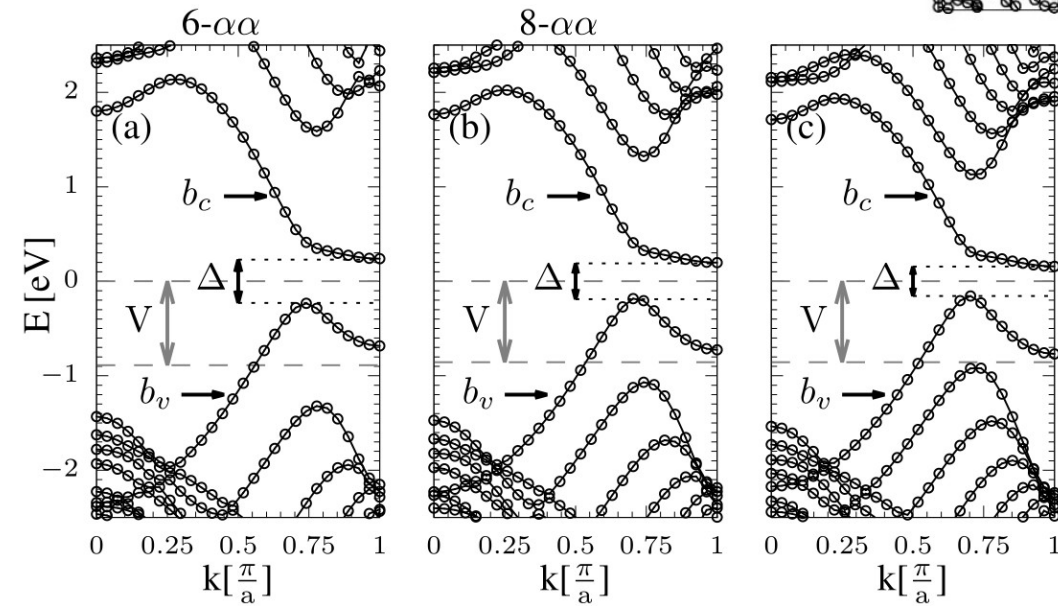


# Canales de Grafeno

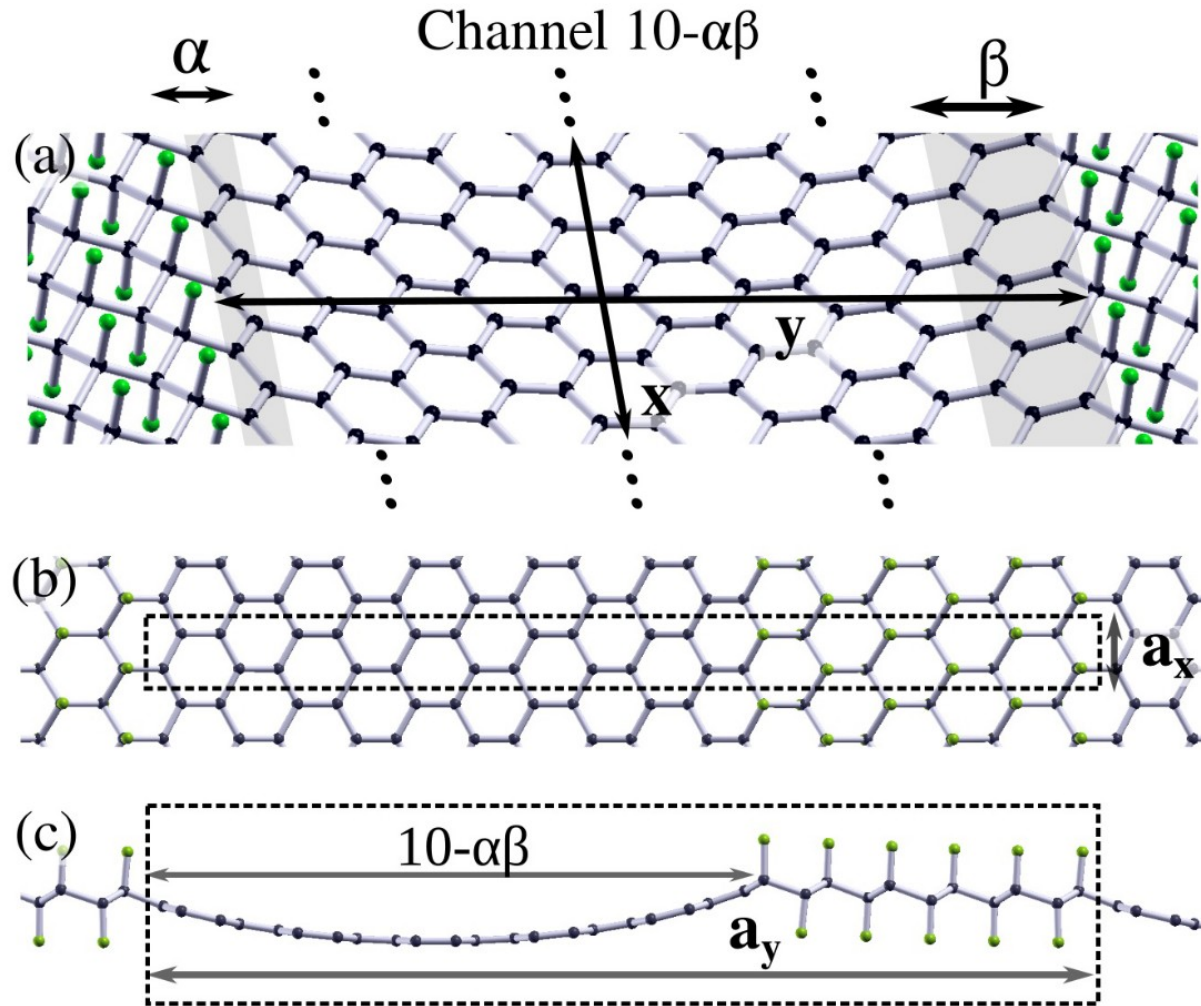
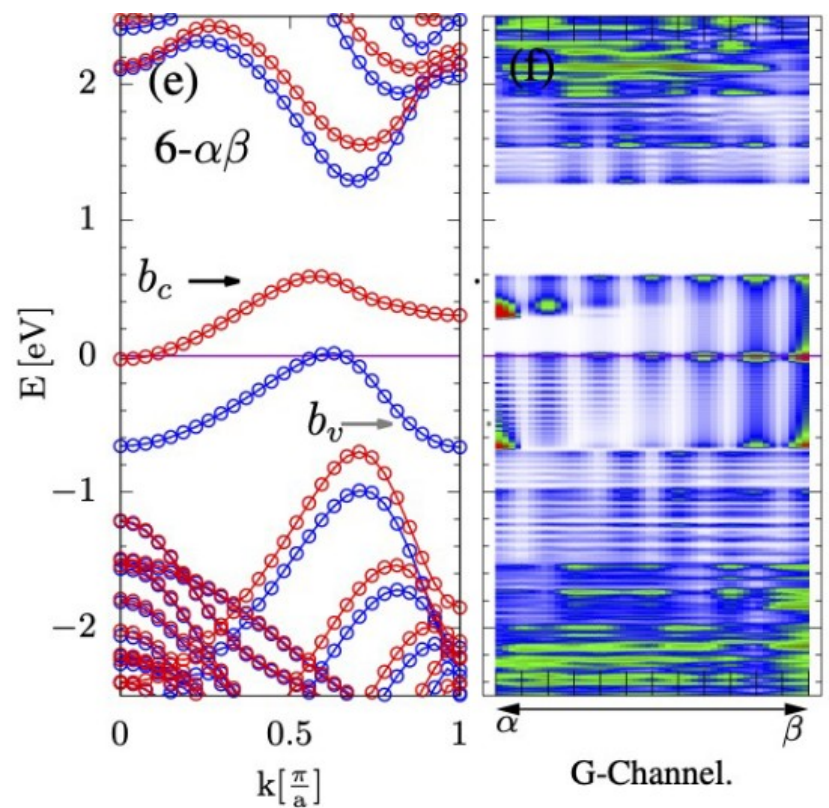
## Resultados de primeros principios



Sistema	$\theta$	$a_y$	$M_{abs}$	$M_\alpha$	$\Delta$
6- $\alpha\alpha$	20.5°	25.85 Å	$1.10\mu_B$	$0.30\mu_B$	0.47 eV
8- $\alpha\alpha$	19.7°	30.09 Å	$1.16\mu_B$	$0.30\mu_B$	0.38 eV
10- $\alpha\alpha$	18.7°	34.33 Å	$1.23\mu_B$	$0.30\mu_B$	0.31 eV

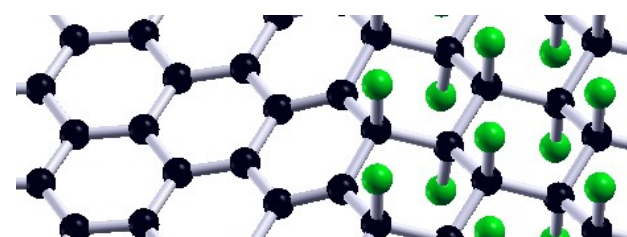
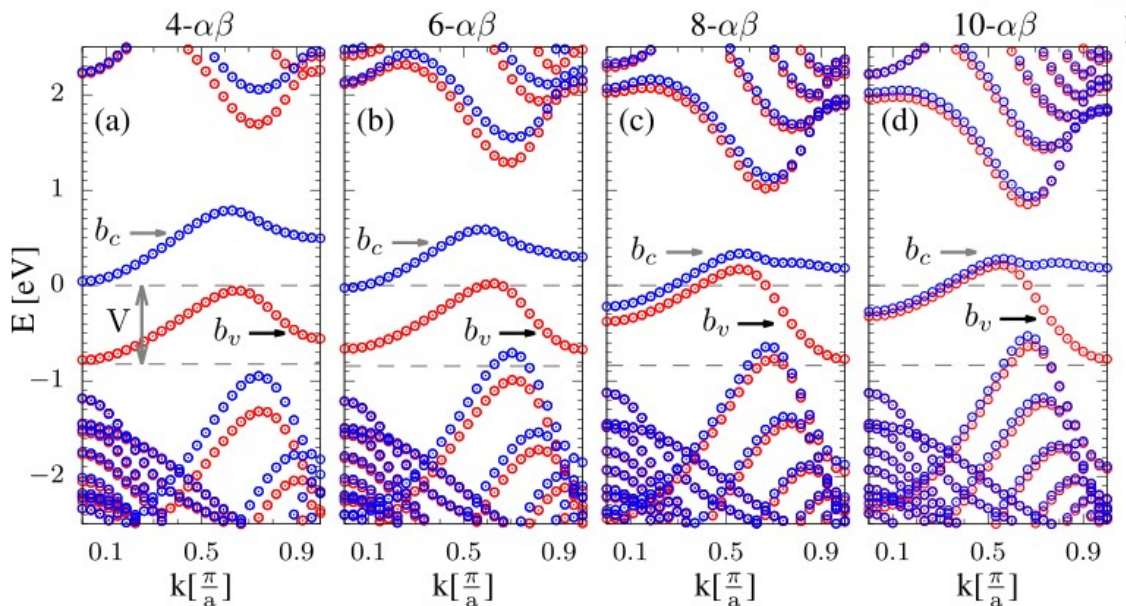
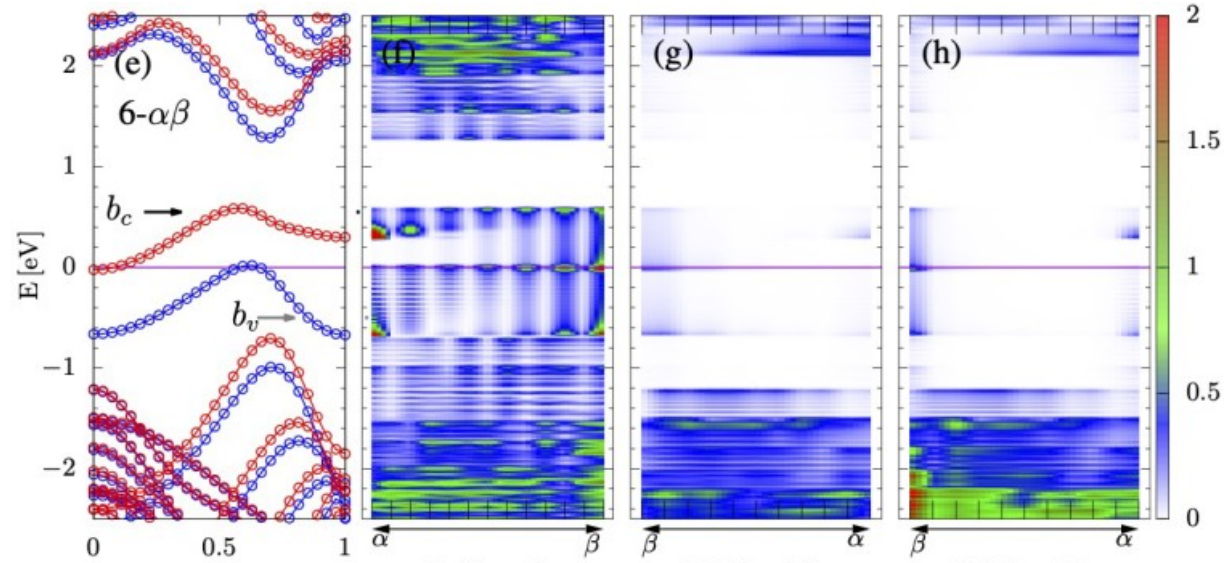
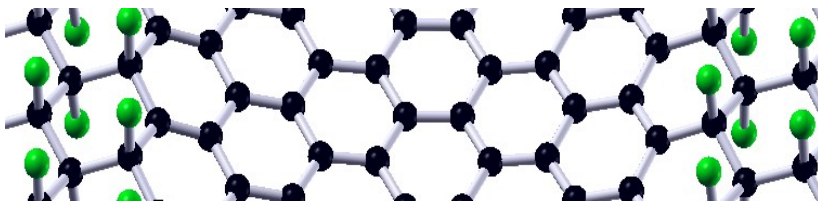


# Canales de Grafeno – Resultados de primeros principios



# Canales de Grafeno

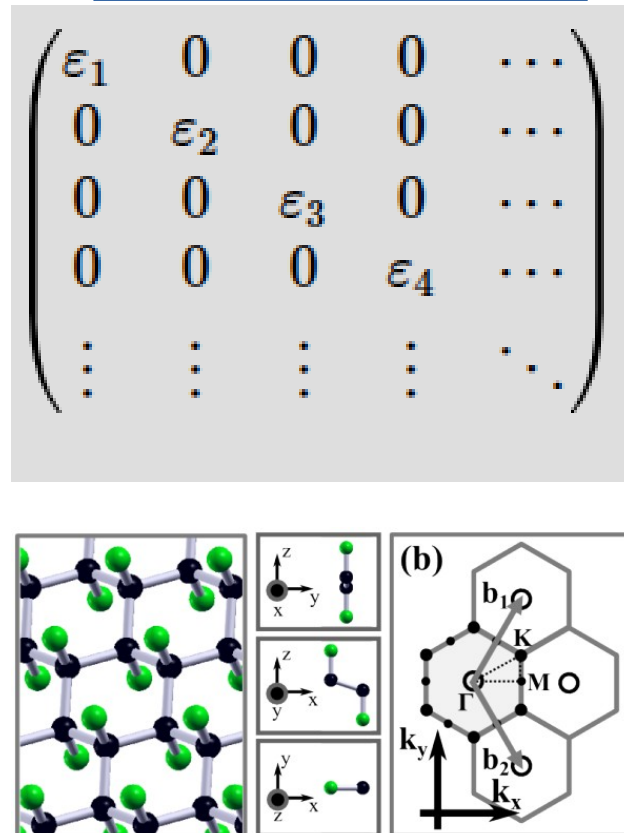
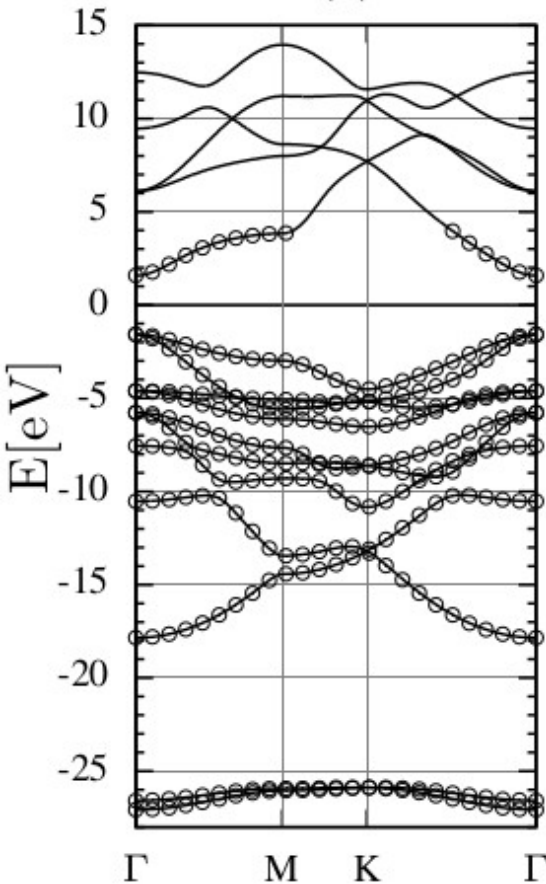
## Resultados de primeros principios



Channel	$a_y$ (Å)	$M_{\text{abs}}$ ( $\mu_B$ )	$M_t$ ( $\mu_B$ )	$M_\beta$ ( $\mu_B$ )	$M_\alpha$ ( $\mu_B$ )
4- $\alpha\beta$	21.75	1.60	0.97	0.38	0.34
6- $\alpha\beta$	25.83	1.47	0.84	0.31	0.31
8- $\alpha\beta$	30.06	0.82	0.45	0.08	0.31
10- $\alpha\beta$	34.29	0.71	0.37	0.03	0.31

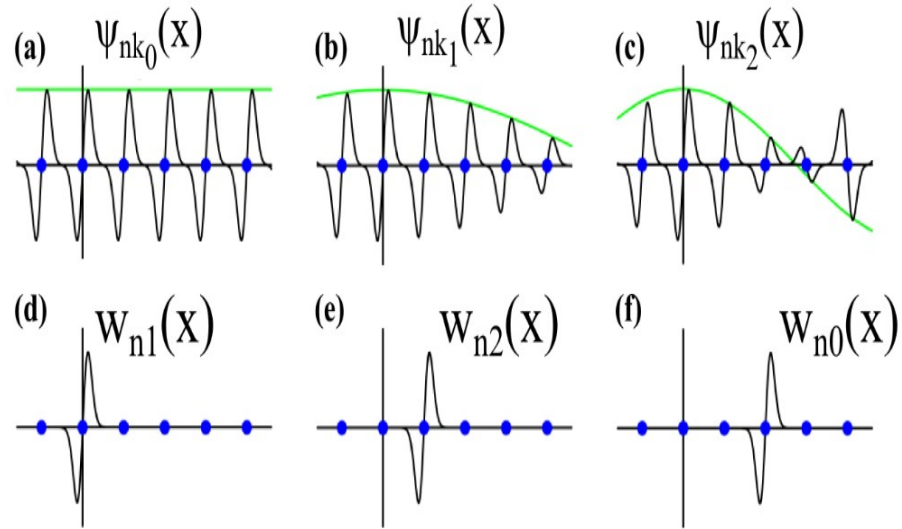
# Ajuste de Wannier – Verificación de parámetros.

Para un “k” fijo



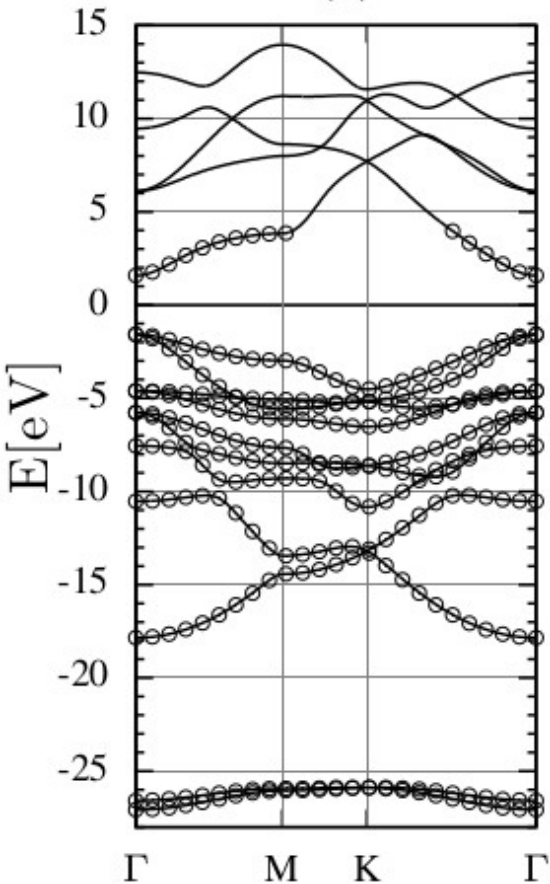
$$|w_{n\mathbf{R}}\rangle = \frac{\Omega}{(2\pi)^3} \int_{ZB} \left[ \sum_{m=1} T_{nm}^{(\mathbf{k})} |\psi_{m\mathbf{k}}\rangle \right] e^{i\mathbf{k}\cdot\mathbf{R}} d\mathbf{k}$$

$$\mathbf{M}^{(k,b)} = \mathbf{T}^{(k)\dagger} \mathbf{M}^{0,(k,b)} \mathbf{T}^{(k+b)}$$



# Ajuste de Wannier – Verificación de parámetros.

Para un “k” fijo

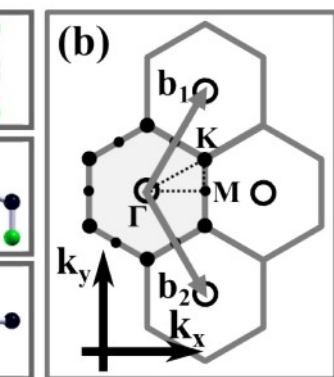
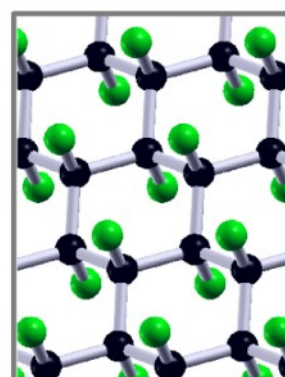


$$\begin{pmatrix} \varepsilon_1 & 0 & 0 & 0 & \dots \\ 0 & \varepsilon_2 & 0 & 0 & \dots \\ 0 & 0 & \varepsilon_3 & 0 & \dots \\ 0 & 0 & 0 & \varepsilon_4 & \dots \\ \vdots & \vdots & \vdots & \vdots & \ddots \end{pmatrix}$$

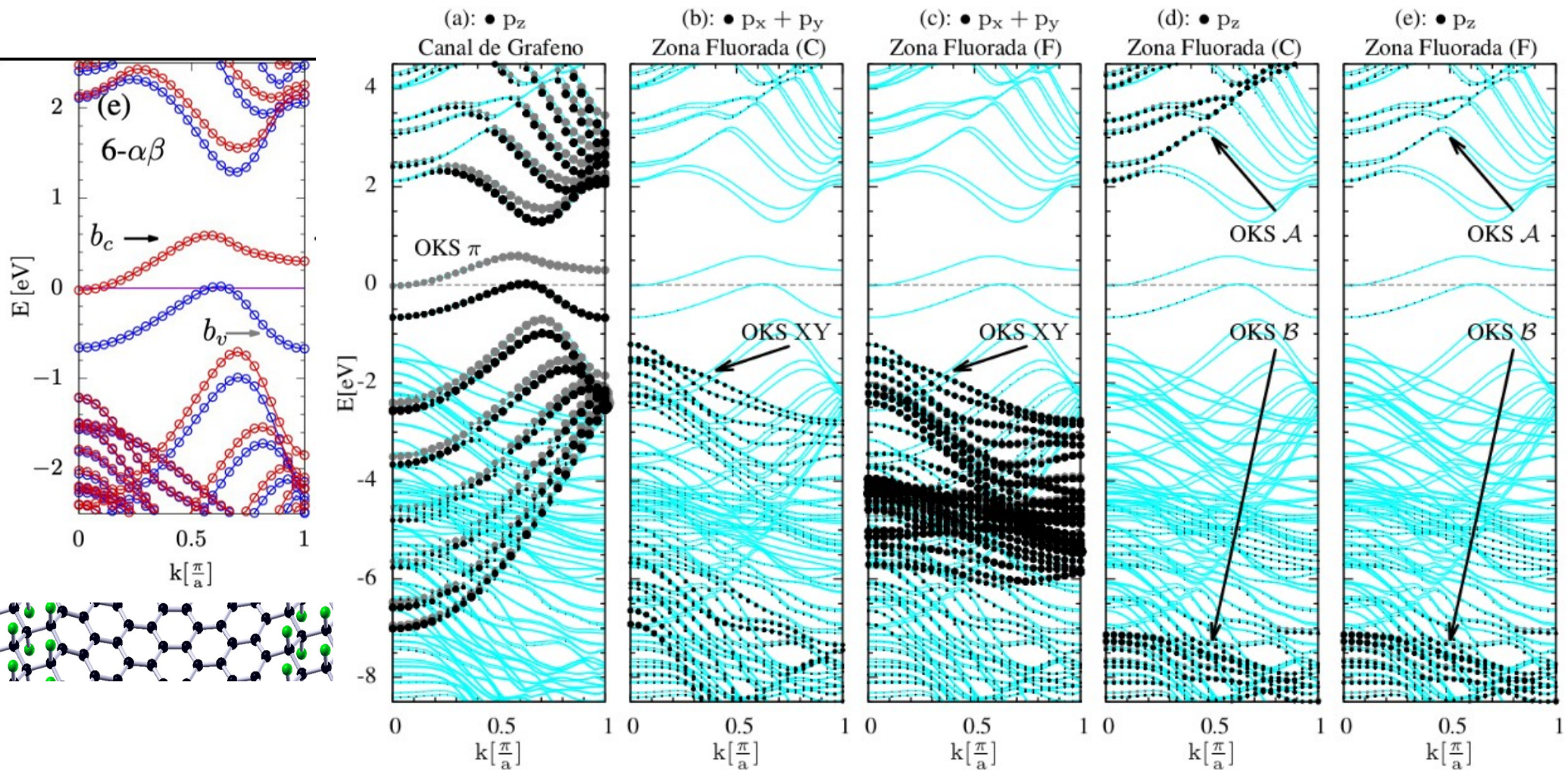
$$\mathbf{H} = \begin{pmatrix} \varepsilon_1 & t_{12} & t_{13} & t_{14} & \dots \\ t_{21} & \varepsilon_2 & t_{23} & t_{24} & \dots \\ t_{31} & t_{32} & \varepsilon_3 & t_{34} & \dots \\ t_{41} & t_{42} & t_{43} & \varepsilon_4 & \dots \\ \vdots & \vdots & \vdots & \vdots & \ddots \end{pmatrix}$$

$$|w_{n\mathbf{R}}\rangle = \frac{\Omega}{(2\pi)^3} \int_{ZB} \left[ \sum_{m=1} T_{nm}^{(\mathbf{k})} |\psi_{m\mathbf{k}}\rangle \right] e^{i\mathbf{k}\cdot\mathbf{R}} d\mathbf{k}$$

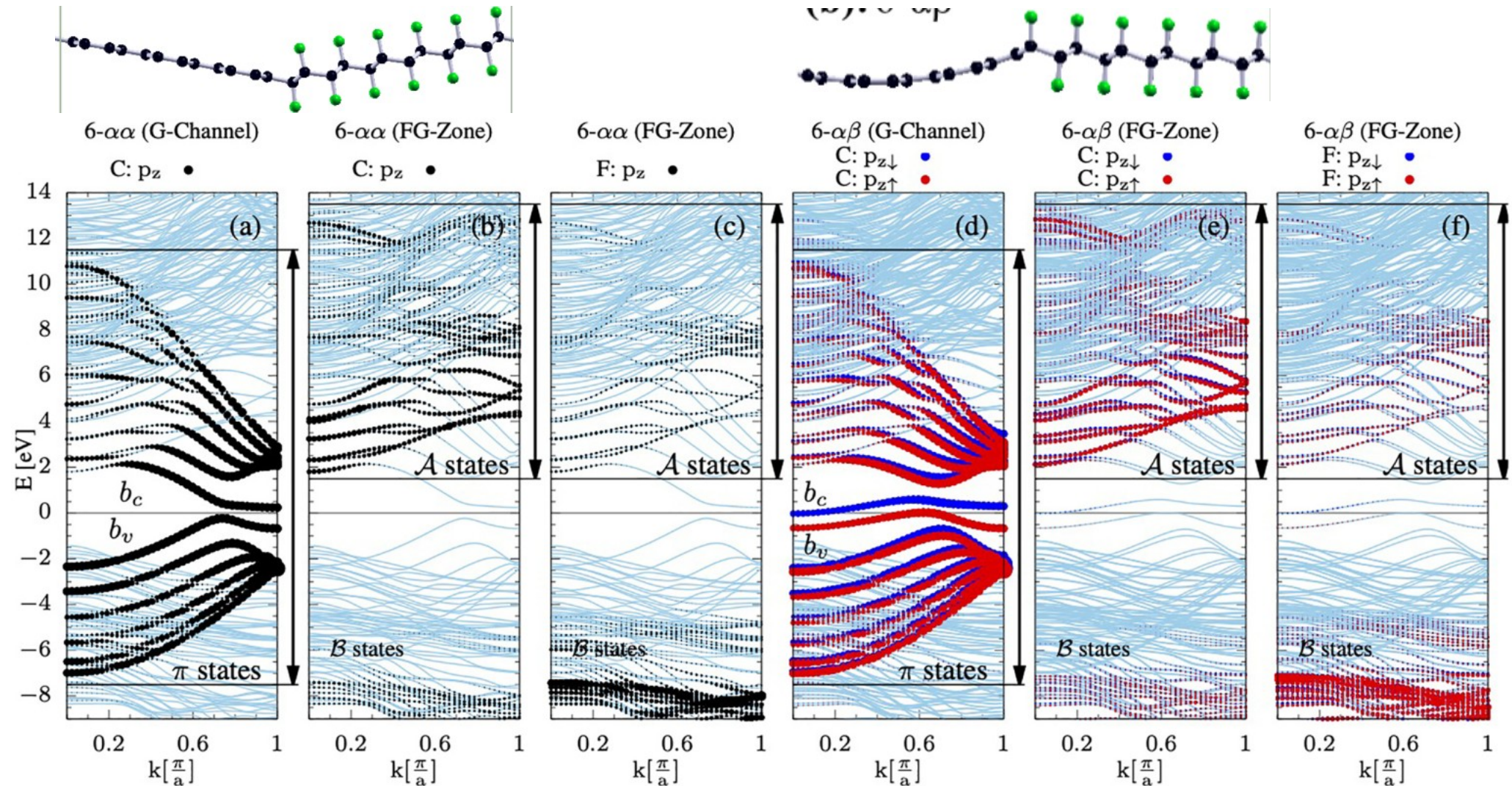
$$\mathbf{M}^{(k,b)} = \mathbf{T}^{(k)\dagger} \mathbf{M}^{0,(k,b)} \mathbf{T}^{(k+b)}$$



# Ajuste de Wannier – Verificación de parámetros.



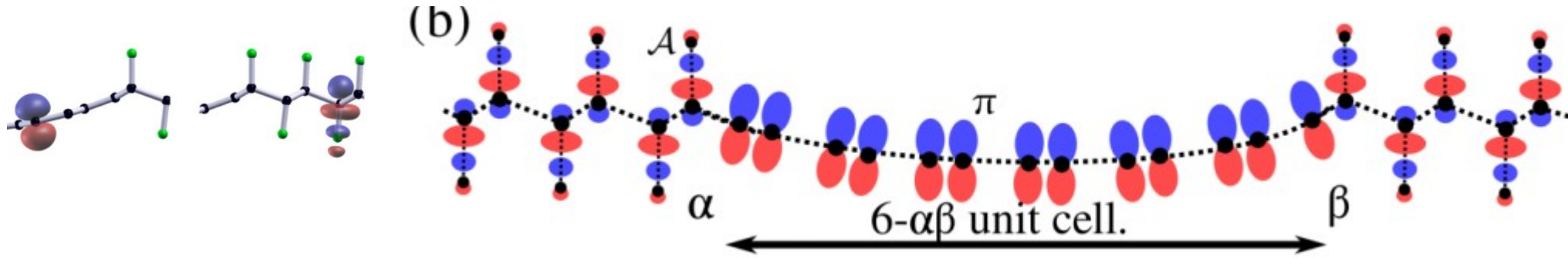
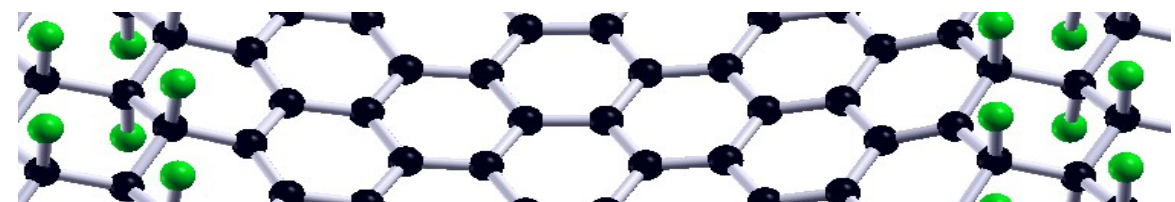
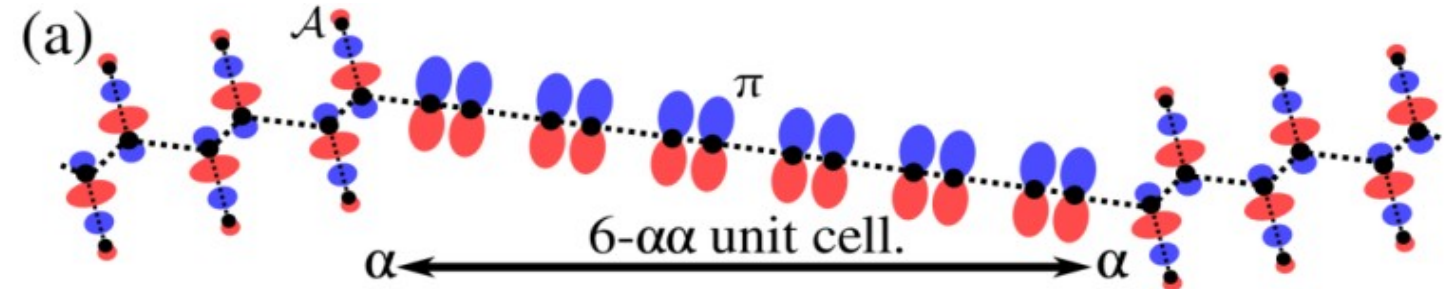
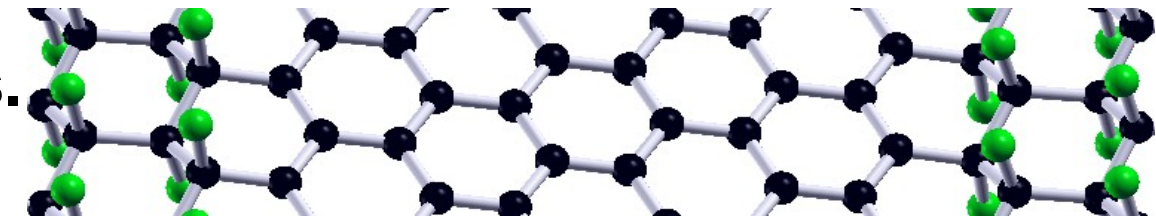
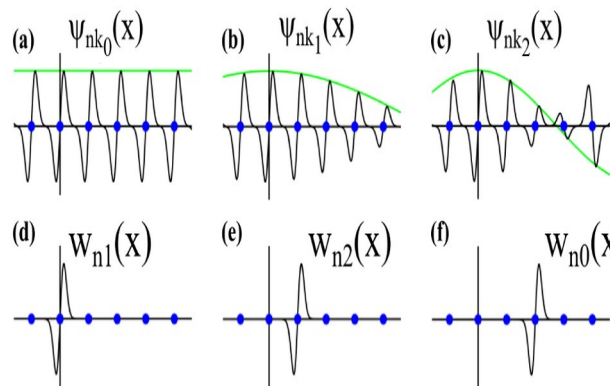
# Ajuste de Wannier – Verificación de parámetros.



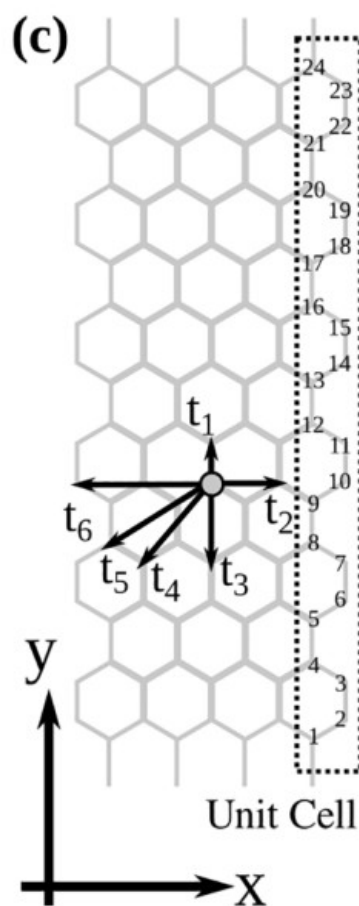
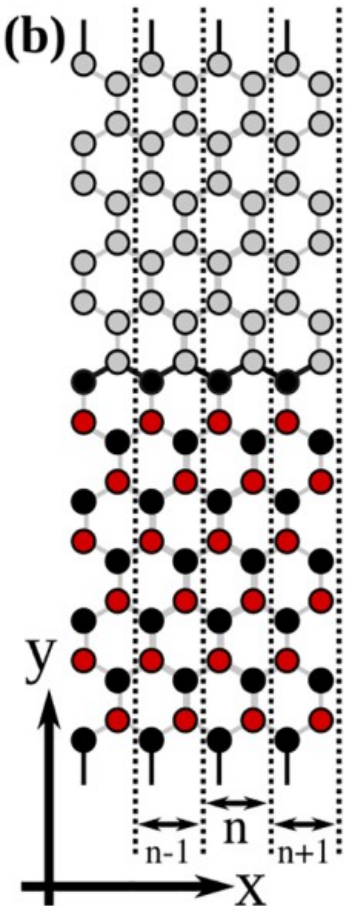
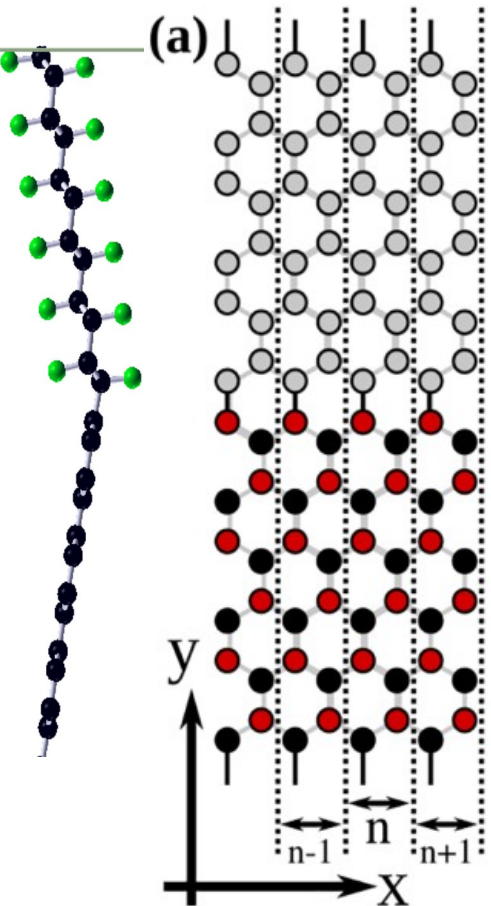
# Ajuste de Wannier – Verificación de parámetros.

$$|w_{n\mathbf{R}}\rangle = \frac{\Omega}{(2\pi)^3} \int_{ZB} \left[ \sum_{m=1} T_{nm}^{(\mathbf{k})} |\psi_{m\mathbf{k}}\rangle \right] e^{i\mathbf{k}\cdot\mathbf{R}} d\mathbf{k}$$

$$\mathbf{M}^{(k,b)} = \mathbf{T}^{(k)\dagger} \mathbf{M}^{0,(k,b)} \mathbf{T}^{(k+b)}$$



# Modelo de Hubbard y método Hartree-Fock



$$U_j = -\frac{\varepsilon_{j\uparrow} - \varepsilon_{j\downarrow}}{\langle \hat{n}_{j\uparrow} \rangle - \langle \hat{n}_{j\downarrow} \rangle} = -\frac{\Delta \varepsilon_{j\sigma}}{\langle \hat{m}_j \rangle}$$

Funciones de Bloch

$$\mathbf{H} = \begin{pmatrix} \varepsilon_1 & 0 & 0 & 0 & \dots \\ 0 & \varepsilon_2 & 0 & 0 & \dots \\ 0 & 0 & \varepsilon_3 & 0 & \dots \\ 0 & 0 & 0 & \varepsilon_4 & \dots \\ \vdots & \vdots & \vdots & \vdots & \ddots \end{pmatrix}$$

Funciones de Wannier

$$\mathbf{H} = \begin{pmatrix} \varepsilon_1 & t_{12} & t_{13} & t_{14} & \dots \\ t_{21} & \varepsilon_2 & t_{23} & t_{24} & \dots \\ t_{31} & t_{32} & \varepsilon_3 & t_{34} & \dots \\ t_{41} & t_{42} & t_{43} & \varepsilon_4 & \dots \\ \vdots & \vdots & \vdots & \vdots & \ddots \end{pmatrix}$$

$$H_{AH} = \sum_{j,\sigma} \varepsilon_j c_{j\sigma}^\dagger c_{j\sigma} - \sum_{j,l,\sigma} t_{jl} c_{j\sigma}^\dagger c_{l\sigma} + \sum_j U_j \hat{n}_{j\uparrow} \hat{n}_{j\downarrow}$$

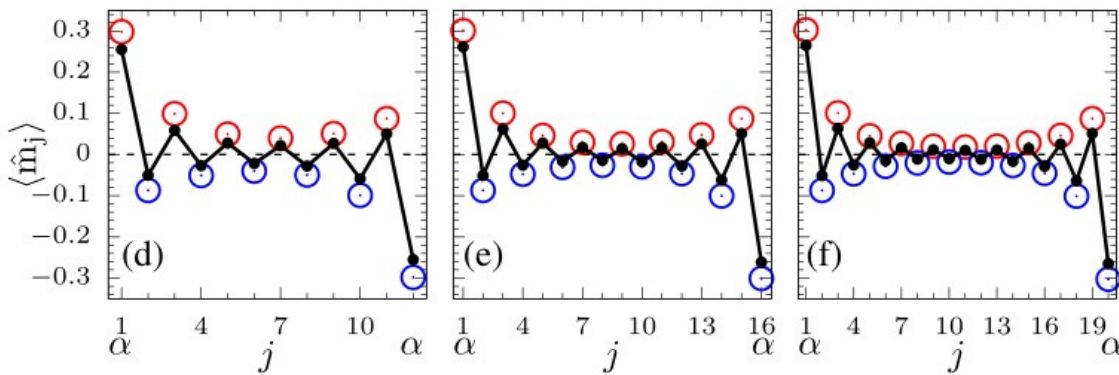
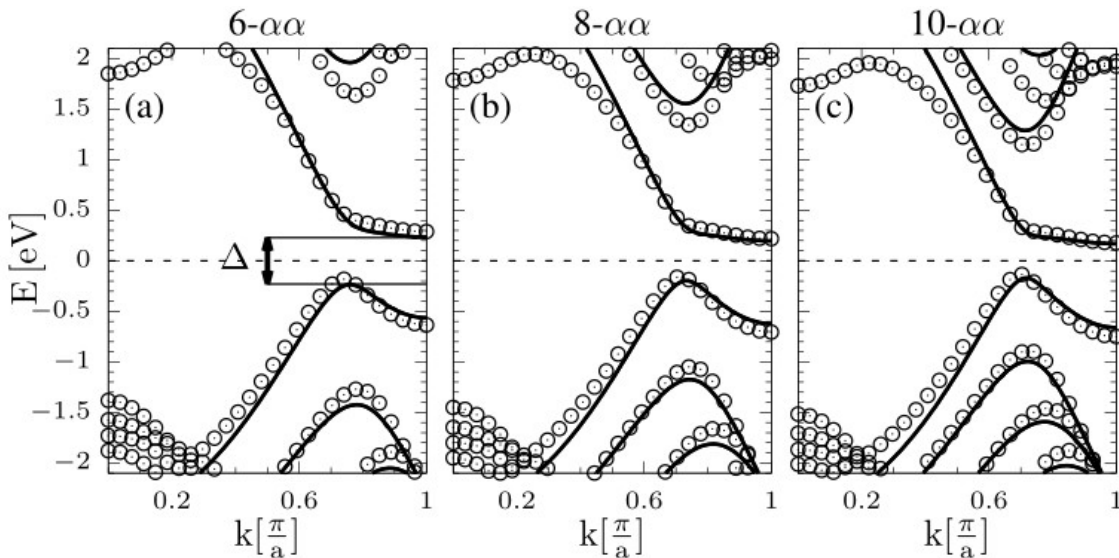
Hartree - Fock

$$\bar{H}_{AH} = \sum_{j,\sigma} \varepsilon_{j\sigma} c_{j\sigma}^\dagger c_{j\sigma} - \sum_{j,l,\sigma} t_{jl} c_{j\sigma}^\dagger c_{l\sigma}$$

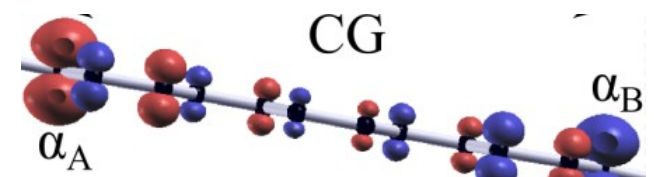
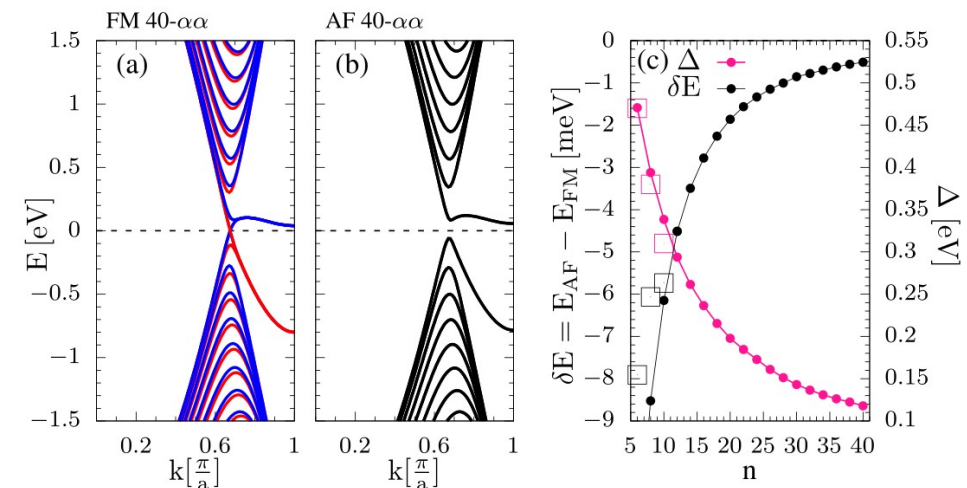
$$\varepsilon_{j\uparrow} = \varepsilon_j + U_j \langle \hat{n}_{j\downarrow} \rangle,$$

$$\varepsilon_{j\downarrow} = \varepsilon_j + U_j \langle \hat{n}_{j\uparrow} \rangle.$$

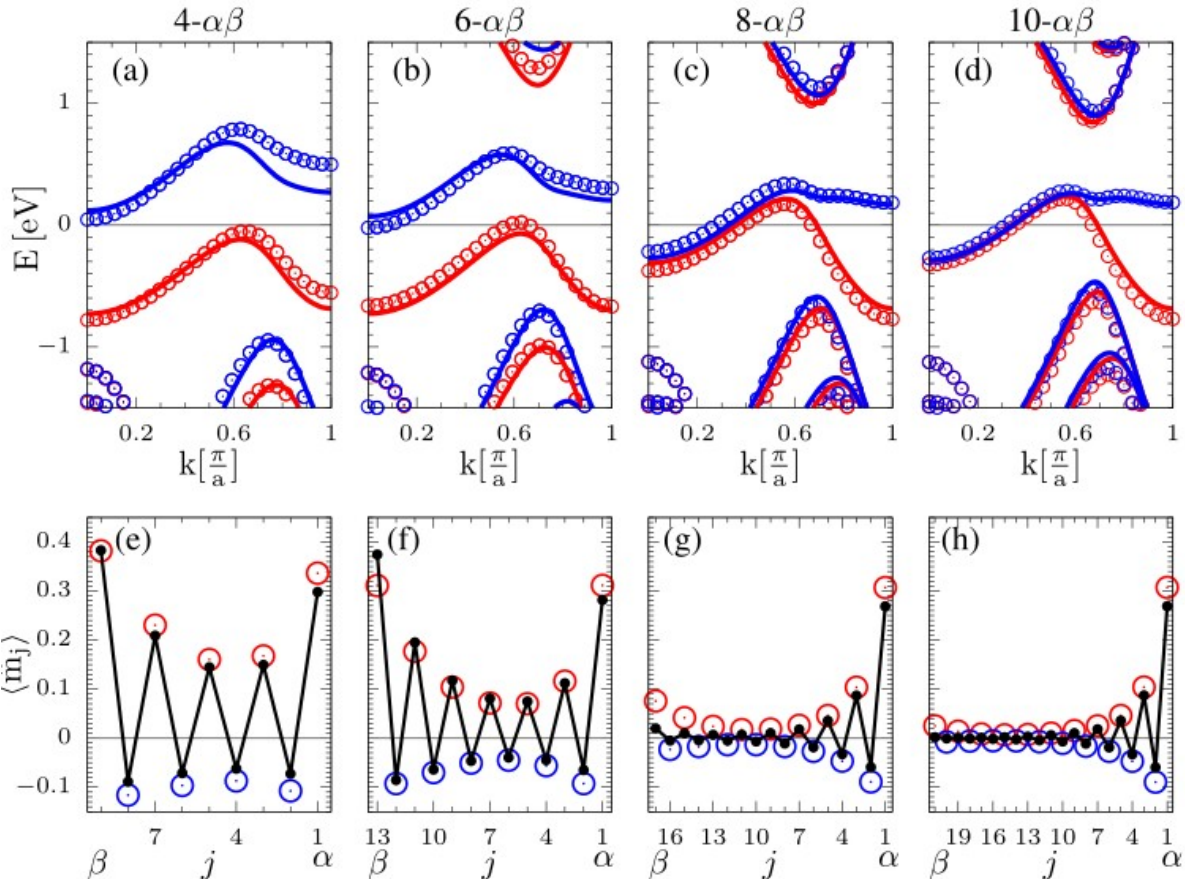
# Ajuste de los resultados DFT.



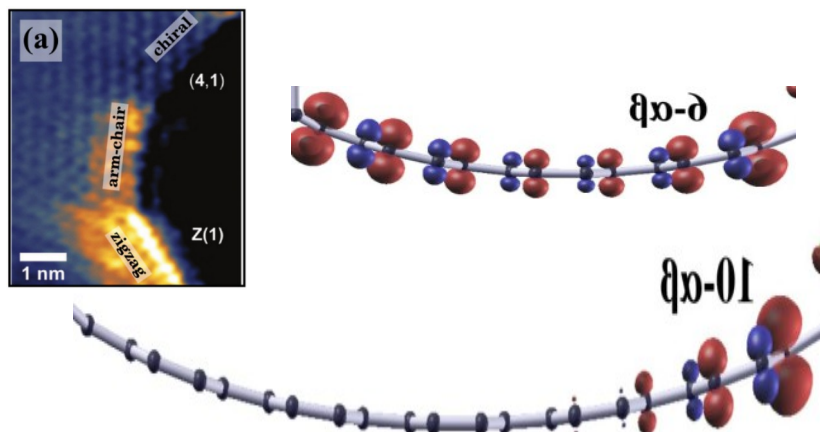
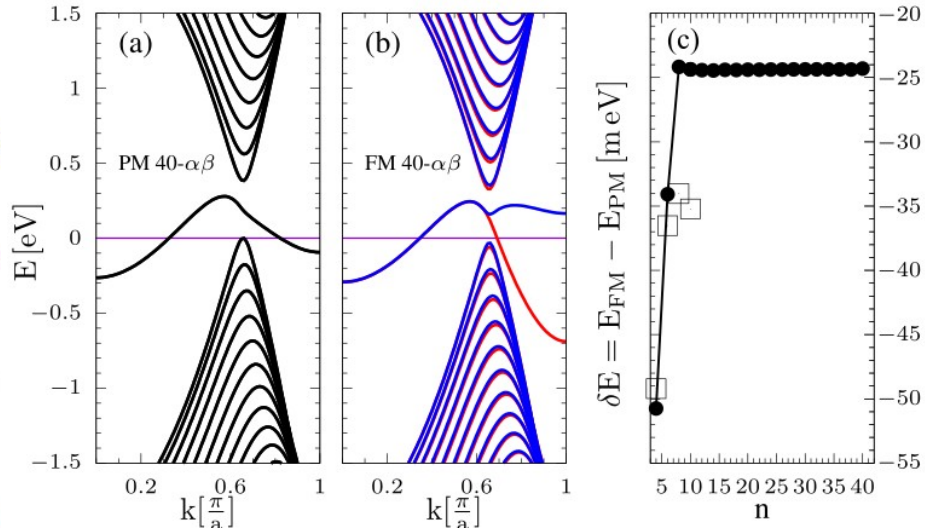
# Predictión



# Ajuste de los resultados DFT.



# Predictión



# Conclusiones – Referencias.

1. Los canales de grafeno (F-GNR) tienen propiedades similares a las cintas de grafeno (ZGNR).
2. La diferencia entre estados de borde F-GNR respecto las ZGNR es su localización, que permite sintonizar un cambio de fase respecto el ancho del canal.
- 3 Los orbitales de Wannier reproducen los resultados DFT de sistemas con enlaces covalentes.

PHYSICAL REVIEW B **110**, 115425 (2024)

---

## Electronic and magnetic properties of graphene-fluorographene nanoribbons: Controllable semiconductor-metal transition

R. M. Guzmán-Arellano<sup>1</sup>, A. D. Hernández-Nieves<sup>2,3</sup>, F. M. Peeters<sup>4,5</sup> and Gonzalo Usaj<sup>2,6,7</sup>

<sup>1</sup>Facultad de Ciencias Físicas, Universidad Nacional Mayor de San Marcos, 15081 Lima, Peru

<sup>2</sup>Centro Atómico Bariloche and Instituto Balseiro, Comisión Nacional de Energía Atómica (CNEA)–Universidad Nacional de Cuyo (UNCUYO), 8400 Bariloche, Argentina

<sup>3</sup>Consejo Nacional de Investigaciones Científicas y Técnicas (CONICET), Argentina

<sup>4</sup>Nanjing University of Information Science and Technology, Nanjing 210044, China

<sup>5</sup>Department of Physics, University of Antwerp, Groenenborgerlaan 171, B-2020 Antwerpen, Belgium

<sup>6</sup>Instituto de Nanociencia y Nanotecnología (INN-Bariloche), CNEA-CONICET, Argentina

<sup>7</sup>CENOLI, Université Libre de Bruxelles – CP 231, Campus Plaine, B-1050 Brussels, Belgium



(Received 26 May 2024; accepted 6 September 2024; published 19 September 2024)